

ANEXO I

Praias da Costa Atlântica de Salvador

Diagrama de Refração das Ondas de Leste (N90°)

Correntes de Retorno Associadas e o Grau de Risco Potencial (GRPo) das Praias (condições mais frequentes entre a primavera e o verão)

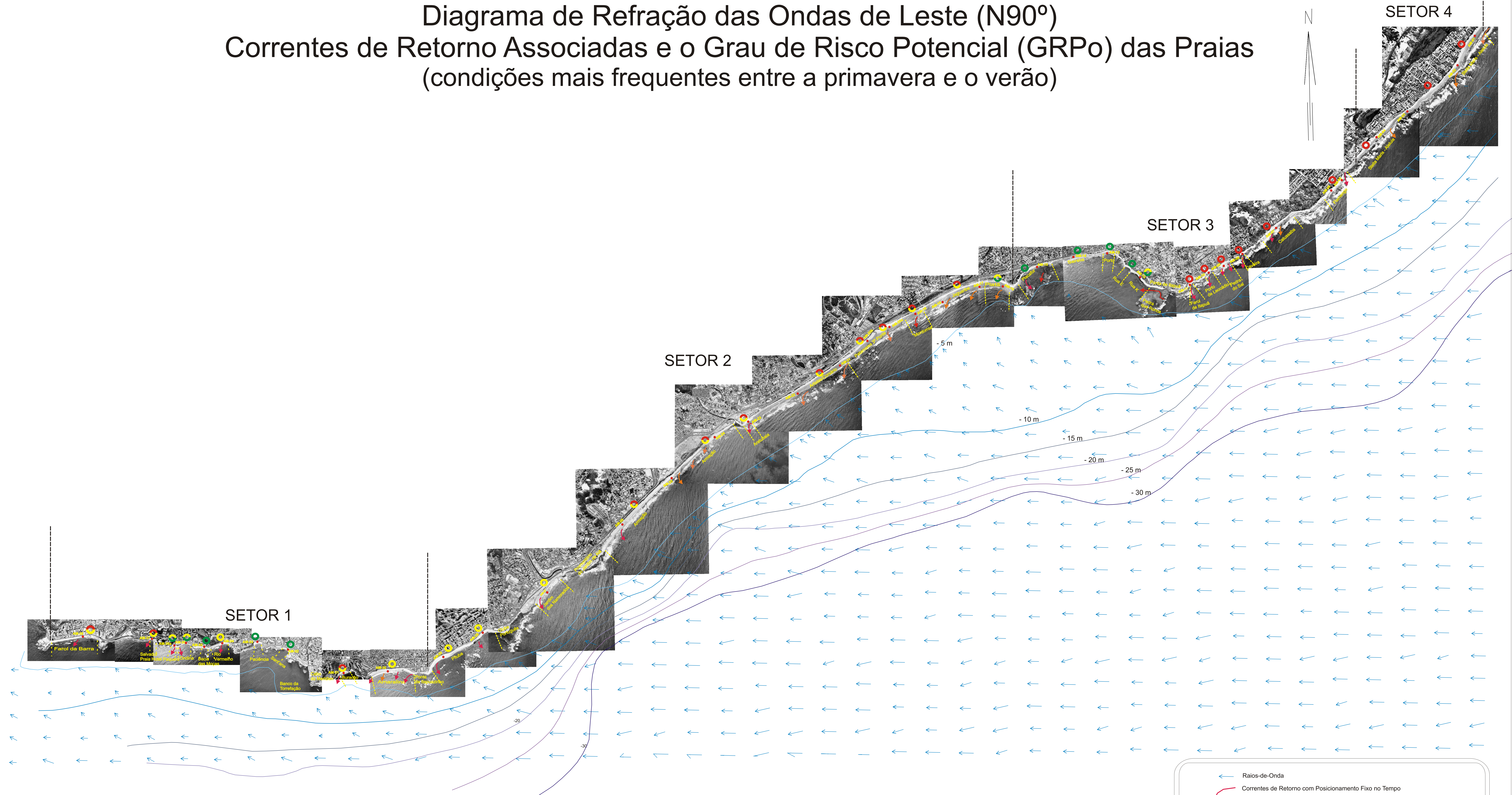


Diagrama de refração de ondas elaborado com o software MIKE 21, módulo NSW, 50 m de resolução.

Batimetria retirada da Carta Náutica nº 1100 (DHN)

Altura e período das ondas extraídos do *Marine Climatic Atlas of the World* (Volume IV - U.S. Navy 1978).

Direção das ondas inferidas a partir da direção dos ventos oceânicos predominantes (Atlas de Cartas Piloto - DHN-1993)

Ortofotos aéreas originais na escala 1:8.000 (CONDER 1998)

Levantamento de campo realizado entre novembro de 1999 e janeiro de 2001, com o apoio da Coordenadoria de Salvamentos Marítimos da Prefeitura de Salvador (SALVAMAR)

Para um melhor entendimento, a linha da costa atlântica de Salvador foi subdividida em quatro setores

← Raios-de-Onda

→ Correntes de Retorno com Posicionamento Fixo no Tempo

→ Correntes com Posicionamento Variável (o posicionamento destas correntes, no mapa, é válido apenas para o momento da observação)

● Grau de Risco Potencial (GRPo) **MUITO ALTO**

● Grau de Risco Potencial (GRPo) **ALTO**

● Grau de Risco Potencial (GRPo) **MÉDIO**

● Grau de Risco Potencial (GRPo) **BAIXO**

● AM-09 Amostra de Sedimento e Ponto de Medição da Declividade

Escala Aproximada
1:19.350

Este mapa faz parte da Dissertação de Mestrado em Geologia de Mário Pereira de Carvalho Universidade Federal da Bahia 2002